

# $\psi'$ 衰变中 VP 和 PP 模式的事例产生器 \*

叶树伟<sup>1)</sup> 赵家伟 陈宏芳 张子平  
(中国科技大学近代物理系 合肥 230027)

**摘要** 在北京谱仪(BES)原有模拟程序框架下,建立了适用于  $J/\psi$ ,  $\psi'$  衰变到 VP 和 PP 模式、以及  $\psi' \rightarrow \pi^+ \pi^- J/\psi$  而后  $J/\psi$  衰变到 VP 和 PP 模式的事例产生器,考虑了相应的角分布,为  $J/\psi$ ,  $\psi'$  物理的研究提供了方便,在  $\psi' \rightarrow \gamma\eta$ ,  $\gamma\eta'$ ,  $\omega\pi^0$ ,  $\pi^+\pi^-$ ,  $K^+K^-$  等分支比的测量中,这一事例产生器可用于选择效率的确定和本底估计.

**关键词** 事例产生器 角分布 VP 和 PP 模式  $\psi'$  衰变 北京谱仪

## 1 引言

事例产生器是根据具体的粒子反应过程,模拟产生粒子反应事例末态的信息,包括粒子的类型、动量和方向,以便对该过程进行研究.因此,事例产生器应尽可能真实地反映对应物理过程的实际情况.它的重要性在于,正确地描述了一个反应过程的事例产生器给出的事例末态,经过探测器蒙特卡罗模拟后产生的数据,是估计该反应在该探测器中事例选择效率的重要方法,有时甚至是唯一实际可行的方法.例如,在北京谱仪(BES)<sup>[1]</sup>实验中,对于  $\psi' \rightarrow \pi^+ \pi^-$  过程,利用一组事例判选条件,包括要求  $|\cos \theta| < 0.7$ ,来选择这类事例,其选择效率为 87.8%,但采用简单相空间产生器 HOWL 给出的效率为 70.0%,两者相差较大,原因是 HOWL 没有正确地反映该反应的角分布.目前 BES 还没有普适的、包括  $J/\psi$  和  $\psi'$  所有衰变道的产生器,只有某些特定反应道,如  $\rho\pi$ ,  $K^+K^-$  等,或部分过程  $\psi' \rightarrow \pi^+ \pi^- J/\psi$ (包括了  $\pi^+ \pi^-$  的角分布)的产生器.但是,  $\psi'$  许多重要的 VP 和 PP 模式的衰变过程,如  $\psi' \rightarrow \pi^0 \omega (\rightarrow \pi^+ \pi^- \pi^0)$ ,  $\psi' \rightarrow \pi^+ \pi^-$  或  $\psi' \rightarrow K^+ K^-$ , 都没有对应的产生器.另外在相应的本底研究中,需要考虑更多的过程,尤其是  $\psi' \rightarrow \pi^+ \pi^- J/\psi$  或  $\psi' \rightarrow$  neutrals  $J/\psi$  而后  $J/\psi$  衰变到各道.虽然有简单相空间产生器 HOWL,但这对选择效率和本底的估计会引入附加的系统误差.因此,有必要编写能正确描述角分布、简单可靠且普适于所有 VP 和 PP 模式的衰变过程的产生器.

1999-02-01 收稿

\* 国家自然科学基金(19675033)和北京正负电子对撞机国家实验室资助项目

1) E-mail: yesw@ustc.edu.cn

## 2 $\psi'$ 衰变到 VP 和 PP 模式的角分布

### 2.1 VP 过程的角分布

对于  $e^+ e^- \rightarrow \gamma^* \rightarrow V_1 P_1$  或  $e^+ e^- \rightarrow \psi \rightarrow V_1 P_1$  (这里  $\psi$  表示  $J/\psi$  和  $\psi'$ , 下同), 即末态为矢量介子和赝标介子的过程且  $V_1$  不衰变, 两者都有相同且唯一确定的角分布<sup>[2,3,4]</sup>:  $1 + \cos^2 \theta_v$ . 如果矢量介子  $V_1$  继续衰变为两个赝标介子 PP 或 3 个赝标介子 PPP, 则有角分布:  $\sin^2 \theta_1 (1 + \cos^2 \theta_v + \sin^2 \theta_v \cos 2\phi_1)$ . 如果来自  $\gamma^*$  或  $\psi$  的赝标介子  $P_1$  也继续衰变成  $V_2 V_3$ , 并且其中  $V_3 \rightarrow P_2 P_3$ , 则以上角分布乘上  $\sin^2 \theta_2$ . 也就是说, 总体角分布  $WTANG = WTANG_v \times WTANG_p$ , 其中

$$WTANG_v = \begin{cases} 1 + \cos^2 \theta_v & \text{如果 } V_1 \text{ 不衰变} \\ \sin^2 \theta_1 (1 + \cos^2 \theta_v + \sin^2 \theta_v \cos 2\phi_1) & \text{如果 } V_1 \rightarrow \text{PP 或 PPP}, \end{cases}$$

这里,  $\theta_v$  是  $V_1$  的极角,  $\theta_1$  和  $\phi_1$  是  $V_1 \rightarrow \text{PP}$  过程的一个赝标介子在  $V_1$  静止系中, 以  $V_1$  的螺旋度坐标系表示的极角和方位角. 在  $V_1 \rightarrow \text{PPP}$  中,  $\theta_1$  和  $\phi_1$  则分别是  $V_1$  的衰变平面法线在  $V_1$  静止系中以  $V_1$  螺旋度坐标系表示的极角和方位角.

$$WTANG_p = \begin{cases} \sin^2 \theta_2 & \text{如果 } P_1 \rightarrow V_2 V_3 (\rightarrow P_2 P_3) \\ 1.0 & \text{如果 } P_1 \text{ 不发生一次以上级联衰变}, \end{cases}$$

这里,  $\theta_2$  是赝标介子  $P_2$  或  $P_3$  在  $V_3$  静止系中以  $V_3$  动量方向为  $z$  轴的极角.

### 2.2 PP 过程的角分布

$e^+ e^- \rightarrow \gamma^* \rightarrow \text{PP}$  或  $e^+ e^- \rightarrow \psi \rightarrow \text{PP}$  即两个赝标介子, 这两个过程角分布完全相同, 为  $\sin^2 \theta$ <sup>[4,5]</sup>, 其中  $\theta$  是衰变产物赝标介子的极角. 如  $\psi' \rightarrow \pi^+ \pi^-$  或  $\psi' \rightarrow K^+ K^-$  就是这种过程.

## 3 事例产生器的实现

BES 已经安装了简单相空间的产生器 HOWL, 并且为用户提供了修正事例抽样权重的因子. 因此, 可以用 HOWL 来首先产生简单相空间的事例, 计算出该类事例相应角分布的权重因子, 然后在 HOWL 的最终抽样(对产生事例根据权重随机地进行取舍)中乘上这一考虑了角分布的权重因子.

在末态( $V_1 \rightarrow \text{PP}$  或  $\text{PPP}$ )的  $WTANG_v$  计算中, 需要确定角度  $\theta_1$  和  $\phi_1$ .  $V_1$  的螺旋度坐标系规定为: 将  $V_1$  的方向作为  $z'$  轴方向,  $z \times z'$  作为  $y'$  轴方向, 而  $x'$  轴方向则为  $y' \times z'$ , 其中  $z$  为实验室系中的  $z$  轴方向.

设矢量介子  $V_1$  的动量  $p_v$  方向角为  $(\theta_v, \phi_v)$ , 那么沿  $p_v$  方向的单位向量  $n_v$  为:

$$n_v = \sin \theta_v (\cos \phi_v i + \sin \phi_v j) + \cos \theta_v k = k',$$

这里  $i, j$  和  $k$  分别是实验室系中沿  $x, y$  和  $z$  轴方向的单位向量.

另设  $i', j', k'$  为  $V_1$  衰变的螺旋度坐标系中沿  $x', y', z'$  轴方向的单位向量. 而  $k' \times k' = \sin \theta_v [\cos \phi_v j - \sin \phi_v i]$ , 它的单位向量为  $j'$ , 即  $j' = -\sin \phi_v i + \cos \phi_v j$ . 那么

$$\begin{aligned} i' &= j' \times k' = [-\sin \phi_v i + \cos \phi_v j] \times [\cos \theta_v (\cos \phi_v i + \sin \phi_v j) + \cos \theta_v k] = \\ &\quad \cos \theta_v (\cos \phi_v i + \sin \phi_v j) - \sin \theta_v k. \end{aligned}$$

于是,

$$\begin{cases} i' = \cos \theta_v \cos \phi_v i + \cos \theta_v \sin \phi_v j - \sin \theta_v k, \\ j' = -\sin \phi_v i + \cos \phi_v j, \\ k' = \sin \theta_v \cos \phi_v i + \sin \theta_v \sin \phi_v j + \cos \theta_v k. \end{cases} \quad (1)$$

有了  $i', j', k'$  与  $i, j, k$  之间的变换公式(1), 在两个坐标系中的动量转换就很简单, 从而可以很方便地求得  $\theta_1$  和  $\phi_1$ .

作为检验, 利用以上考虑角分布的产生器产生了  $\psi' \rightarrow \pi^0 \omega (\rightarrow \pi^+ \pi^- \pi^0)$  过程 ( $\psi' \rightarrow V_1 P_1$ ,  $V_1 \rightarrow PPP$ ) 和  $\psi' \rightarrow \gamma \eta'(958) (\rightarrow \gamma \rho, \rho \rightarrow \pi^+ \pi^-)$  过程 ( $\psi' \rightarrow V_1 P_1$ ,  $P_1 \rightarrow V_2 V_3 \rightarrow P_2 P_3$ ) 的蒙特卡罗事例.

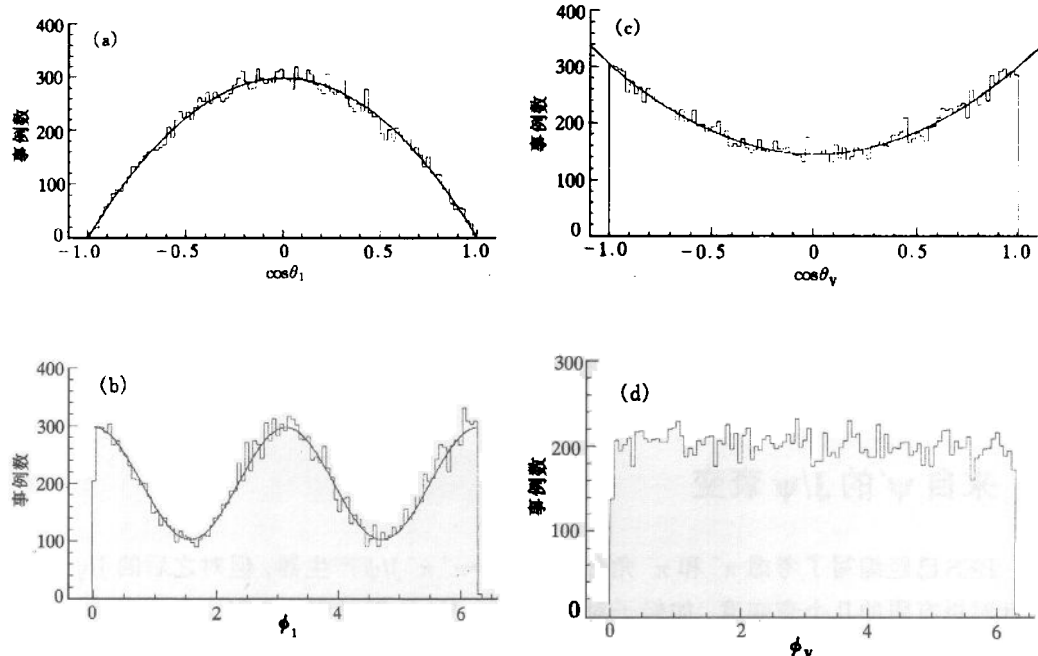


图 1  $\psi' \rightarrow \pi^0 \omega$  蒙特卡罗模拟中的角度分布

(a)  $\theta_1$  分布; (b)  $\phi_1$  分布; (c)  $\theta_v$  分布; (d)  $\phi_v$  分布. ( $\theta_1, \phi_1, \theta_v, \phi_v$  的含义见正文).

对于  $\pi^0 \omega (\rightarrow \pi^+ \pi^- \pi^0)$  过程, 它的  $\theta_1$  符合  $\sin^2 \theta_1$  分布(图 1(a)),  $\phi_1$  符合  $2 + \cos 2\phi_1$  分布(图 1(b)),  $\theta_v$  符合  $1 + \cos^2 \theta_v$  分布(图 1(c)),  $\phi_v$  为均匀分布(图 1(d)), 全部与预期的一致. 因为在角分布  $\sin^2 \theta_1 (1 + \cos^2 \theta_v + \sin^2 \theta_v \cos 2\phi_1)$  中, 对  $\theta_v$  和  $\phi_1$  积分, 留  $\theta_1$ , 则成为  $A_1 \times \sin^2 \theta_1$ ; 对  $\theta_1$  和  $\theta_v$  积分, 留  $\phi_1$ , 则为  $B_1 \times (2 + \cos 2\phi_1)$ ; 对  $\theta_1$  和  $\phi_1$  积分, 留  $\theta_v$ ,

则有  $A_v \times (1 + \cos^2 \theta_v)$ , 其中  $A_1$ ,  $B_1$  和  $A_v$  都是常数.

对于  $\gamma\eta'(958) \rightarrow \gamma\rho$  过程, 来自  $\psi'$  的  $\gamma$  的  $\theta_\gamma$  符合  $1 + \cos^2 \theta_\gamma$  分布(图 2(a)), 而  $\pi$  在  $\rho$  静止系中的  $\theta_\pi$  符合  $\sin^2 \theta_\pi$  分布(图 2(b)), 与预期的一致.

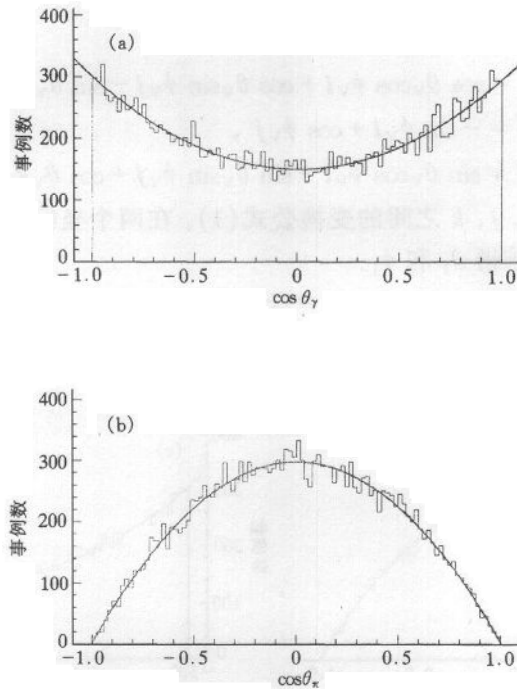


图 2  $\psi' \rightarrow \gamma\eta'(958) \rightarrow \gamma\rho, \rho \rightarrow \pi^+ \pi^-$  蒙特卡罗模拟中的角度的分布  
(a)  $\theta_\gamma$  分布; (b)  $\theta_\pi$  分布. ( $\theta_\gamma, \theta_\pi$  的含义见正文).

#### 4 来自 $\psi'$ 的 J/ψ 衰变

BES 已经编写了考虑  $\pi^+$  和  $\pi^-$  角分布的  $\psi' \rightarrow \pi^+ \pi^-$  J/ψ 产生器, 但对之后的 J/ψ 衰变, 仅针对极有限的几个衰变道, 如轻子对  $l^+ l^-$ ,  $\rho\pi$ ,  $K^+ K^-$  等过程. 编写了各自独立的子程序, 不能普遍地产生 J/ψ 的任意衰变过程. 为此, 编写了相应的产生器, 使之能调用简单相空间分布的模拟程序 HOWL 产生 J/ψ 的各种可能衰变, 并且对 J/ψ 到 VP 模式和 PP 模式的衰变, 考虑了相应的角分布. 这样, 就不必专门地为各特定道而分别编写程序. 因此, 为研究在  $\psi'$  衰变中来自  $\psi' \rightarrow X + J/\psi$  而后 J/ψ 衰变的各类本底提供了可能和方便.

#### 5 应用和总结

VP 和 PP 模式在 J/ψ 和  $\psi'$  衰变中占很大部分, 对它们的研究是 J/ψ 物理和  $\psi'$  物理的重要内容. 本文所述的事例产生器为这些研究提供了方便. 在北京谱仪的  $\psi' \rightarrow \gamma\eta, \gamma\eta^{[6]}$ ,

$\omega\pi^0$ ,  $\pi^+\pi^-$ ,  $K^+K^-$  等分支比测量及其它  $J/\psi$  物理和  $\psi'$  物理的物理分析中, 都已经采用了这一事例产生器, 用来准确确定选择效率和估计本底.

这一事例产生器的主要思想是: 将密度函数或权重因子分成独立的几部分, 分别对之抽样, 来简化抽样、提高效率. 对于  $J/\psi$  和  $\psi'$  其它模式的衰变过程的事例的产生, 也可以类似地实现.

在角分布的计算过程中, 得到中国科学院高能物理研究所张达华研究员的许多帮助, 在此表示感谢.

### 参考文献(References)

- 1 DING HuiLiang et al. High Energy Phys. and Nucl. Phys. (in Chinese), 1992, **16**: 769—789  
(丁慧良等. 高能物理与核物理, 1992, **16**: 769—789)
- 2 Coffman D et al. Phys. Rev., 1988, **D38**: 2695
- 3 Baltrusaitis R M et al. Phys. Rev., 1985, **D32**: 2883
- 4 YE ShuWei. PhD. Dissertation, University of Science and Technology (in Chinese), 1997  
(叶树伟. 中国科技大学博士论文, 1997)
- 5 Brodsky S J. Exclusive Process in Quantum Chromodynamics, SLAC-PUB-4947, Mar. 1989
- 6 BAI J Z et al (BES Collab.). Phys. Rev., 1998, **D58**: 097101

## Event Generator for $\psi'$ Decays of VP and PP Modes\*

YE ShuWei<sup>1)</sup> ZHAO JiaWei CHEN HongFang ZHANG ZiPing

(Department of Modern Physics, University of Science & Technology of China, Hefei 230027, China)

**Abstract** A convenient generator, based on the existing framework of BES simulation, applicable generally to both  $\psi'$  and  $J/\psi$  decays of VP and PP modes, is established. The corresponding angular distribution is taken into account. A similar generator is also established for the successive  $J/\psi$  decay in the process of  $\psi' \rightarrow X + J/\psi$ . In the measurement of branching ratios for  $\psi' \rightarrow \gamma\eta$ ,  $\gamma\eta'$ ,  $\omega\pi^0$ ,  $\pi^+\pi^-$ ,  $K^+K^-$ , this generator is used to determine the selection efficiency and estimate the background.

**Key words** event generator, angular distribution, VP and PP modes,  $\psi'$  decays, Beijing spectrometer (BES)

Received 1 February 1999

\* Project supported by National Natural Science Foundation of China (19675033) and BEPC National Laboratory

1) E-mail: yesw@ustc.edu.cn